

(169) $\text{CaO}-\text{SiO}_2$ -酸化鉄-酸化クロム系溶融スラグ中の酸素の透過度
669.046.586: 669.787: 539.217

千葉工業大学大学院 ○浅村 鴻
千葉工業大学工学部 雀部 実

1. 緒言

報告者の一人は溶融膜透過法にて溶融スラグ中の酸素の透過度を測定する方法を考案し、 $\text{CaO}-\text{SiO}_2$ -酸化鉄系溶融スラグ中などの酸素の透過度を測定し、すでに報告した。本研究では同様の方法を用いて $\text{CaO}-\text{SiO}_2$ -酸化鉄-酸化クロム系溶融スラグ中の酸素の透過度を測定し、 Cr_2O_3 添加量が酸素透過度に及ぼす影響を検討したのでここに報告する。

2. 実験方法

実験には溶融膜透過法を用いた。試料は、試薬 Fe_2O_3 を 5 mol% あるいは 10 mol% 配合した $\text{CaO}-\text{SiO}_2$ -酸化鉄系マスタースラグ ($\text{CaO}/\text{SiO}_2 = 1$) を作成し、そこに試薬 Cr_2O_3 を 0.2 mol%, 1 mol%, 3 mol%, 5 mol% それぞれ添加したものを使用した。測定温度は、1500°C から 1750°C までの約 50°C おきとした。

3. 実験結果

まず、酸化クロムと酸化鉄の、酸素の透過度に及ぼす影響の違いを観察するため、40 wt% CaO -40 wt% SiO_2 -20 wt% Al_2O_3 系マスタースラグに試薬 Cr_2O_3 を 0.2 wt%, 1 wt%, 3 wt%, 5 wt%, 10 wt%, 15 wt% それぞれ添加した試料を用いて測定を行なった。この測定ではスラグを透過する酸素が非常に微量で、測定される酸素分圧がキャリアガスとして用いた Ar ガス中の酸素分圧と同じ値となってしまうため、酸素の透過度の算出は不可能であった。しかしこの測定により、酸化クロムが酸素の透過度に及ぼす影響は、酸化鉄ほど顕著ではないという知見を得た。

$\text{CaO}-\text{SiO}_2$ -酸化鉄系（試薬 Fe_2O_3 を 10 mol% 配合）マスタースラグを使用した時の酸素の透過度と温度の関係を Fig. 1 に示した。温度と透過度の関係はアレニウスの関係を満足し、活性化工エネルギーは Cr_2O_3 添加量に無関係に 53 Kcal となった。これは試薬 Fe_2O_3 を 5 mol% 配合した場合も同じであった。各組成に於ける頻度因子の値を Table 1 に示した。

$\text{CaO}-\text{SiO}_2$ -酸化鉄系（試薬 Fe_2O_3 を 10 mol% 配合）マスタースラグを使用した時の酸素の透過度と、試薬 Cr_2O_3 添加量の関係を Fig. 2 に示した。 Cr_2O_3 を添加するに従い、酸素の透過度は指數関数的に減少した。この傾向は試薬 Fe_2O_3 を 5 mol% 配合した場合も同じであった。又、酸素の透過度 "P" と Cr_2O_3 添加量との間には、

$$\text{Fe}_2\text{O}_3 10 \text{ mol\%} \text{ 配合の場合, } 1650^\circ\text{C} \text{ に於て} \\ P = 9.4 \times 10^{-7} \cdot (\text{Cr}_2\text{O}_3 \text{ mol\%})^{-1/5.0}$$

$$\text{Fe}_2\text{O}_3 5 \text{ mol\%} \text{ 配合の場合, } 1650^\circ\text{C} \text{ に於て} \\ P = 4.1 \times 10^{-7} \cdot (\text{Cr}_2\text{O}_3 \text{ mol\%})^{-1/5.5}$$

という実験式が得られた。

文献 ① 雀部ら 鉄と鋼 第65年 12号

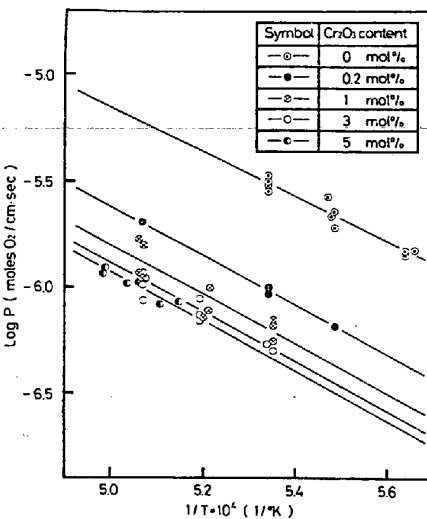


Fig. 1 Relationship between the logarithm of oxygen permeability and reciprocal temperature

Tab. 1 The frequency factors of oxygen permeabilities measured

Cr_2O_3 content	frequency factor	
	10 mol% Fe_2O_3	5 mol% Fe_2O_3
0 mol%	4.89	2.84
0.2 mol%	1.49	0.637
1 mol%	0.933	0.441
3 mol%	0.799	-
5 mol%	0.719	0.312

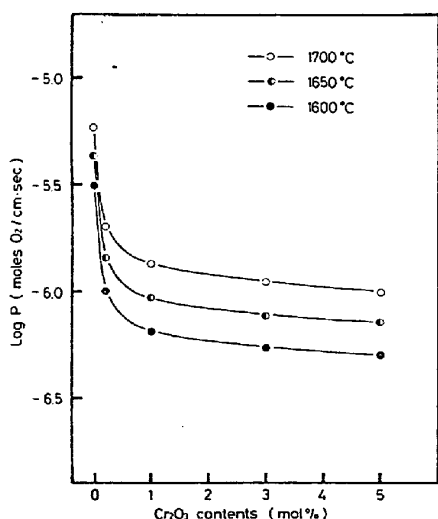


Fig. 2 Relationship between the logarithm of oxygen permeability and Cr_2O_3 contents